

МАГНИТОЭЛЕКТРИЧЕСКИЕ И МАГНИТОУПРУГИЕ СВОЙСТВА ЛЕГКОПЛОСКОСТНЫХ ФЕРРОБОРАТОВ С МАЛЫМ ИОННЫМ РАДИУСОМ

A. M. Кадомцева^a, Г. П. Воробьев^a, Ю. Ф. Попов^a, А. П. Пятаков^{a,b}, А. А. Мухин^b,
В. Ю. Иванов^b, А. К. Звездин^b, И. А. Гудим^c, В. Л. Темеров^c, Л. Н. Безматерных^c*

^a Московский государственный университет им. М. В. Ломоносова
119992, Москва, Россия

^b Институт общей физики им. А. М. Прохорова Российской академии наук
119991, Москва, Россия

^c Институт физики им. Л. В. Киренского Сибирского отделения Российской академии наук
660036, Красноярск, Россия

Поступила в редакцию 26 июля 2011 г.

Проведено комплексное исследование магнитных, магнитоэлектрических и магнитоупругих свойств ферроборатов $RFe_3(BO_3)_4$. Измерение полевых зависимостей магнитоэлектрической поляризации вдоль оси a кристалла для наименее изученного ферробората голмия, а также для смешанного состава $Ho_{0.5}Sm_{0.5}Fe_3(BO_3)_4$ позволило для легкоплоскостных ферроборатов установить следующие закономерности: а) продольный и поперечный магнитоэлектрические эффекты имеют противоположные знаки; б) в поле, близком к полю обмена между редкоземельными ионами и ионами железа, магнитоиндукционная поляризация меняет знак. Данные закономерности хорошо согласуются с предсказаниями теории на основе анализа симметрии соединений. Относительно небольшое значение поля $f-d$ -обмена в ферроборате голмия (примерно 20 кЭ), подмагничивающего редкоземельную подсистему, обуславливает меньшие по величине скачки поляризации (около 30 мкКл/м²), наблюдаемые в полях менее 10 кЭ, по сравнению с теми, которые проявляются в других легкоплоскостных ферроборатах ($R = Sm, Nd$). Индуцированный в $HoFe_3(BO_3)_4$ в магнитных полях более 100 кЭ рост электрической поляризации до 200–300 мкКл/м² оказался заметно меньше, чем в неодимовом ферроборате, что указывает на существенную зависимость магнитоэлектрических эффектов от электронной структуры редкоземельных ионов.

1. ВВЕДЕНИЕ

Редкоземельные ферробораты с общей формулой $RFe_3(BO_3)_4$ как новый класс мультиферроиков интенсивно исследуются последние годы [1–10]. Было выявлено влияние основного состояния редкоземельного иона на магнитоэлектрические свойства ферроборатов, в частности, было показано, что наибольшие величины магнитоиндукционной поляризации должны наблюдаться у ферроборатов, анизотропия которых соответствует типу «легкая плоскость» (ферробораты Sm и Nd) [3, 11, 12]. Представляет интерес расширение круга возможных механиз-

мов, влияющих на величину магнитоэлектрической поляризации, в частности на ее зависимость от величины обменного взаимодействия между подсистемой железа и ионами редкой земли, характеризующегося полем $f-d$ -обмена. С этой целью были проведены магнитные, магнитоэлектрические и магнитоупругие измерения для сравнительно мало изученных легкоплоскостных ферроборатов $HoFe_3(BO_3)_4$ и смешанных составов $Ho_{0.5}Sm_{0.5}Fe_3(BO_3)_4$, особенностью которых являются наблюдаемые в них разнообразные фазовые переходы: структурные, а также спин-переориентационные как спонтанные, так и индуцированные внешним магнитным полем.

*E-mail: pyatakov@physics.msu.ru

2. МЕТОДИКА ЭКСПЕРИМЕНТА

Кристаллы ферроборатов $\text{HoFe}_3(\text{BO}_3)_4$ и $\text{Ho}_{0.5}\text{Sm}_{0.5}\text{Fe}_3(\text{BO}_3)_4$ были выращены методом спонтанной кристаллизации из растворов в расплавах (подробнее см. работу [13]). Естественная огранка кристаллов соответствовала кристаллографическим направлениям, определенным рентгенографическим методом. Магнитные измерения проводились на установке MPMS-5 (Quantum Design). Основные измерения магнитоэлектрических и магнитоупругих свойств проводились в импульсных магнитных полях до 250 кЭ в диапазоне температур от 4.2 до 50 К. На перпендикулярные к направлению измеряемой поляризации грани исследуемого образца наносились электроды из эпоксидной смолы с проводящим наполнителем. Измерялась величина электрического напряжения на электродах, пропорциональная электрической поляризации, при изменении величины магнитного поля, которое прикладывалось вдоль различных кристаллографических направлений. Магнитострикция измерялась с помощью приклеенного к образцу пьезодатчика из монокристаллической кварцевой пластинки, реагирующей на деформацию только в одном направлении. Температурные зависимости электрической поляризации в статических магнитных полях до 15 кЭ измерялись пироэлектрическим методом с помощью электрометра В7-45.

3. РЕЗУЛЬТАТЫ ЭКСПЕРИМЕНТОВ

На рис. 1 приведены кривые намагничивания монокристалла $\text{HoFe}_3(\text{BO}_3)_4$ вдоль осей c и a при низких температурах (около 1.9 К) в относительно слабых магнитных полях. Наблюдаются сопровождающееся гистерезисом достаточно резкое (особенно вдоль оси c) возрастание намагниченности, соответствующее индуцированному полем фазовому переходу от легкоосного к легкоплоскостному состоянию (переход типа спин-флоп). Наряду с переходом типа спин-флоп наблюдается и необычный спин-переориентационный переход в магнитном поле \mathbf{H} , направленном вдоль оси a (H_a), с возвратом спинов в плоскость ab при температурах ниже температуры спонтанного переориентационного перехода $T_{SR} \approx 5$ К (так называемый возвратный переход [1]). При температурах, больших 5 К, подобных аномалий на кривых намагничивания не наблюдалось.

На рис. 2а показаны температурные зависимости продольной и поперечной электрической поляри-

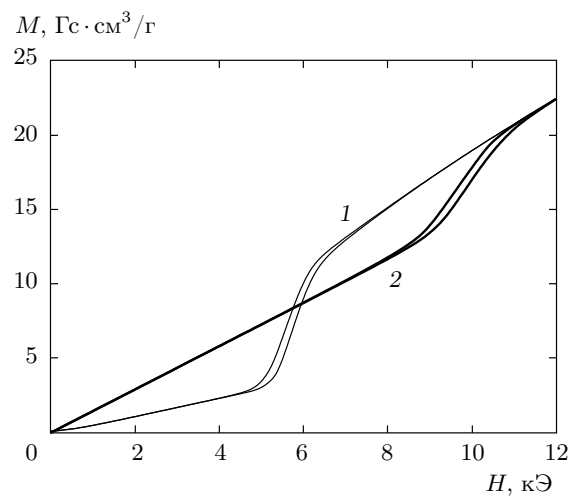


Рис. 1. Кривые намагничивания $\text{HoFe}_3(\text{BO}_3)_4$ вдоль осей c (кривая 1) и a (кривая 2) при $T = 1.9$ К

ризации P в $\text{HoFe}_3(\text{BO}_3)_4$, возникающей в малых статических магнитных полях (меньше 10 кЭ), при которых устанавливается однодоменное состояние. Величина магнитоэлектрической поляризации расчет при понижении температуры вплоть до точки спин-переориентационного перехода $T = 5$ К. Ниже этой температуры магнитоэлектрическая поляризация в малых полях не наблюдается. На рис. 2б приведены температурные зависимости продольной магнитоэлектрической поляризации ΔP_a , снятые в импульсных полях, для различных легкоплоскостных ферроборатов.

На рис. 3 показаны полевые зависимости продольного (в поле H_a) и поперечного (в поле H_b) эффектов в ферроборате гольмия. При малых полях видны скачки поляризации ΔP_a , обусловленные установлением однородной антиферромагнитной структуры с ориентацией спинов перпендикулярно внешнему полю (однодоменное состояние). Ниже температуры $T_{SR} = 5$ К скачок поляризации возникает в значительно больших полях (около 10 кЭ), соответствующих полям возвратного перехода (см. рис. 3б, а также кривую H_a на рис. 1). Дальнейшее уменьшение магнитоэлектрической поляризации и обращение ее в нуль в поле порядка 20 кЭ трактовалось в работе [14] как подавление спонтанной сегнетоэлектрической поляризации магнитным полем. Однако измерение магнитоэлектрического эффекта в более широком диапазоне полей (см. рис. 3) показывает, что в поле 20 кЭ происходит смена знака электрической поляризации подобно то-

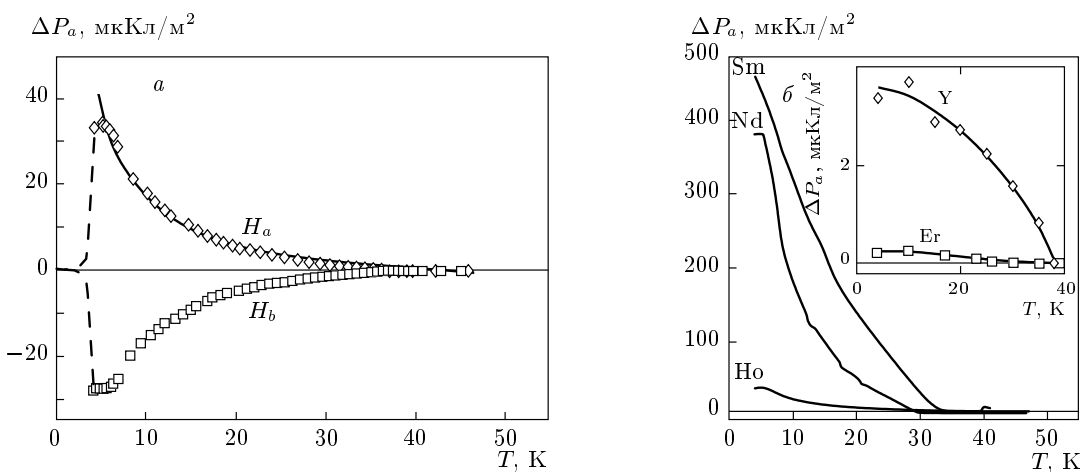


Рис. 2. Температурные зависимости магнитоиндукционной поляризации ΔP_a для *a*) $\text{HoFe}_3(\text{BO}_3)_4$ в магнитном поле $H = 8.5 \text{ кЭ}$, направленном вдоль осей a (H_a) и b (H_b); (сплошная кривая — теоретическая зависимость, рассчитанная по формуле (3); штриховые линии показывают исчезновение поляризации при температуре ниже $T_{SR} = 5 \text{ К}$); *б*) легкоплоскостных ферроборатов $R = \text{Sm}, \text{Nd}, \text{Ho}$ в поле $H_a = 10 \text{ кЭ}$; на вставке приведены зависимости для ферроборатов с $R = \text{Er}, \text{Y}$

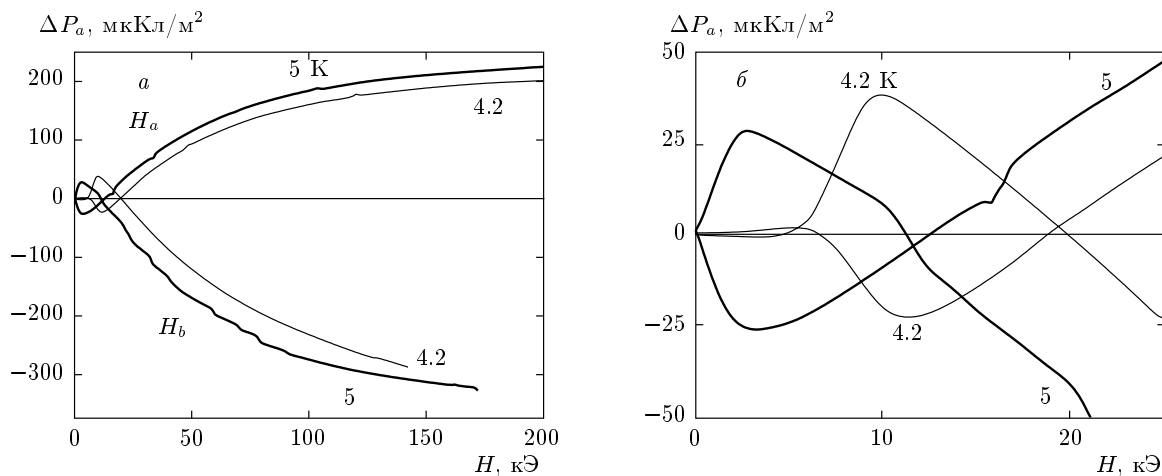


Рис. 3. *a*) Зависимости электрической поляризации ΔP_a от магнитного поля, направленного вдоль осей a и b в ферроборате гольмия. *б*) Область малых полей в увеличенном масштабе: виден различный ход магнитоэлектрических кривых выше и ниже температуры $T_{SR} = 5 \text{ К}$

му, как это происходило в ферроборате неодима при поле, равном полю $f-d$ -обмена [3]. Знак поперечного (при H_b) магнитоэлектрического эффекта ΔP_a был противоположен знаку продольного эффекта (при H_a). Последнее свойство характерно для всех легкоплоскостных ферроборатов, включая и смешанные составы (рис. 4).

Схожие закономерности наблюдаются в полевых зависимостях магнитострикции (рис. 5), коррелирующих с полевыми зависимостями поляризации: видны возвратный переход при 10 кЭ и смена знака по-

ляризации при внешнем поле $20-25 \text{ кЭ}$, приблизительно равном полю $f-d$ -обмена.

На рис. 6 показаны зависимости поляризации вдоль различных осей в ферроборате гольмия при намагничивании вдоль оси c (поле H_c). Аномалии на кривых в районе 10 кЭ имеют вид, характерный для перехода типа спин-флоп [10, 11], и сопровождаются гистерезисом, аналогичным наблюдаемому на рис. 1. Величина и конкретный вид полевых зависимостей поляризации при таком переходе во многом определяются присутствием неконтролируемых

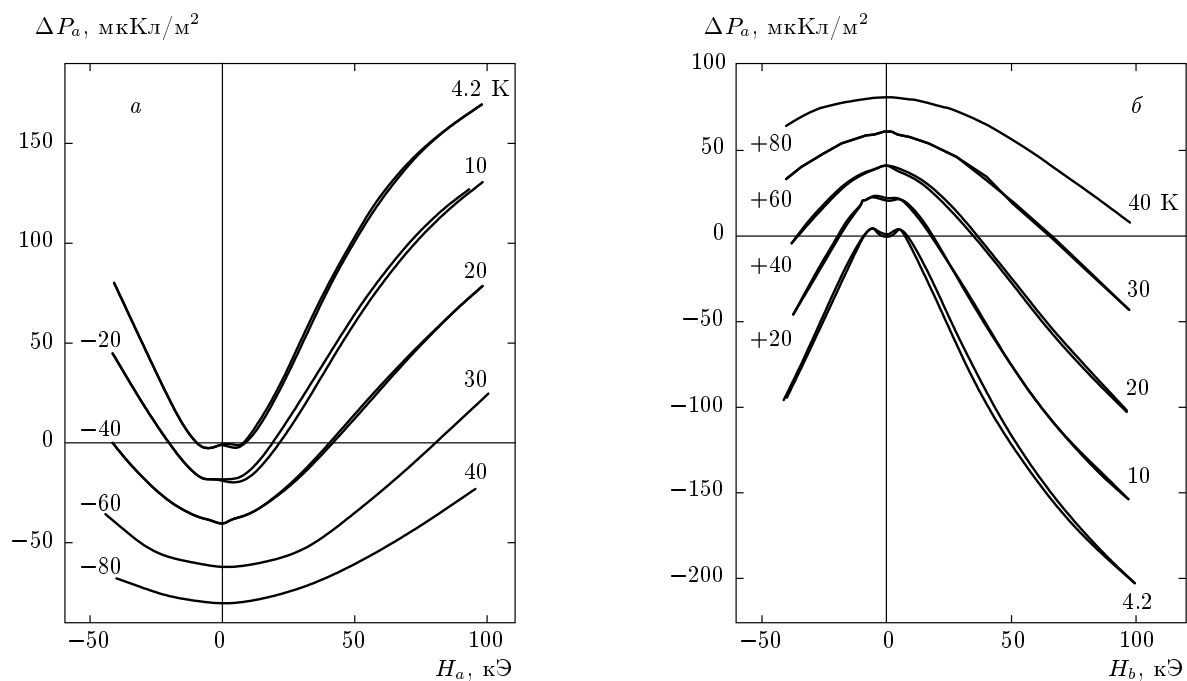


Рис. 4. Полевые зависимости продольного (*a*) и поперечного (*b*) магнитоэлектрических эффектов для смешанного состава $\text{Ho}_{0.5}\text{Sm}_{0.5}\text{Fe}_3(\text{BO}_3)_4$. В иллюстративных целях зависимости при различных температурах разнесены (числа слева от кривых показывают величину смещения вдоль вертикальной оси)

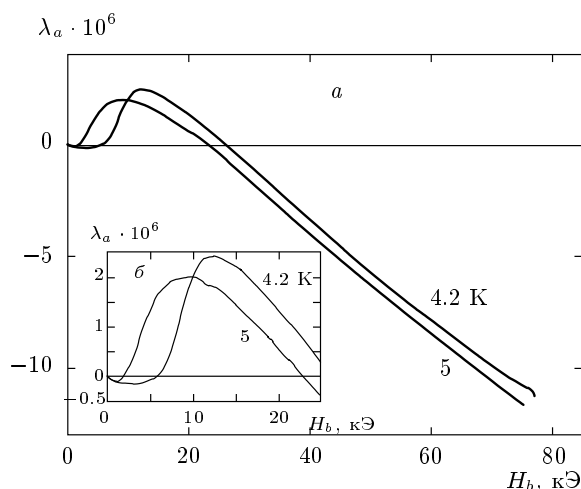


Рис. 5. *a*) Полевые зависимости магнитострикции выше и ниже T_{SR} для $\text{HoFe}_3(\text{BO}_3)_4$. *б*) Область малых полей в увеличенном масштабе

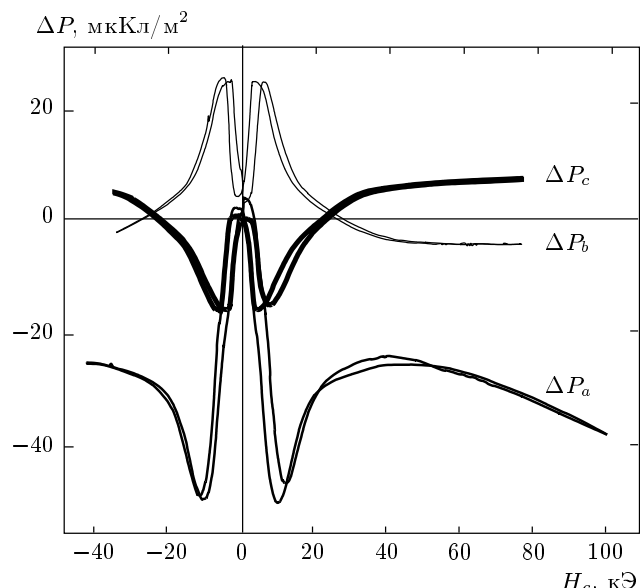


Рис. 6. Зависимости поляризации в ферроборате гольмия вдоль различных осей от магнитного поля, приложенного вдоль оси *c*, при $T = 4.2 \text{ K} < T_{SR}$

в эксперименте составляющих магнитного поля в базисной плоскости.

4. ОБСУЖДЕНИЕ

Индукционный магнитным полем спин-переориентационный переход с возвратом магнитных моментов ионов железа в базисную плоскость, наблюдаемый ниже температуры спиновой переориентации $T_{SR} = 5$ К (возвратный переход), подобен переходу, происходящему при температурах ниже 10 К в GdFe₃(BO₃)₄ [1]. Его механизм связан с уменьшением (подавлением) в магнитном поле вклада редкоземельных ионов в энергию анизотропии, стабилизирующего одноосное состояние при низких температурах. Специфика иона Ho³⁺ состоит в том, что его спектр в кристаллическом и обменном полях [15] качественно отличается от эквидистантного спектра иона Gd³⁺. При этом, однако, ферроборат гольмия не демонстрирует такой сильной анизотропии магнитных свойств [16, 17], как ферробораты тербия или диспрозия, у которых сразу при $T < T_N$ R-подсистема стабилизирует одноосное состояние [8, 18, 19]. В HoFe₃(BO₃)₄, по-видимому, вклад в магнитные свойства четырех нижних и достаточно близко лежащих друг к другу уровней (0, 8, 14, 18 см⁻¹ [16]) не является сильноанизотропным, т. е. имеет место своеобразная компенсация от разных пар уровней (переходов). Этим, в определенной степени, можно объяснить более низкую температуру T_{SR} , чем в GdFe₃(BO₃)₄, и относительно слабую магнитную анизотропию.

Результаты измерений полевых зависимостей электрической поляризации ферробората HoFe₃(BO₃)₄ находятся в хорошем согласии с температурными зависимостями поляризации в магнитных полях до 40 кЭ, полученными в работе [14]. Однако в нашей работе измерения проводились в большем диапазоне магнитных полей, в том числе и выше характерных полей обмена между редкоземельными ионами и ионами железа, что позволило обнаружить изменение знака магнитоиндукционной поляризации (см. вставку на рис. 3б), характерное и для других легкоплоскостных ферроборатов [3].

Для объяснения характерных особенностей наблюдаемых температурных и полевых зависимостей воспользуемся подходом, который может быть назван квантово-феноменологическим. Он включает в себя как феноменологическую теорию магнитной симметрии, так и элементы квантовой механики для редкоземельных элементов. Этот метод доказал свою исключительную эффективность при исследовании широкого круга магнитных материалов [20]. Учитывая, что основной вклад в электрическую по-

ляризацию ферроборатов связан с R-подсистемой и используя симметрийные свойства параметров порядка Fe- и R-подсистем (табл. 1), представим магнитоэлектрический вклад в свободную энергию в виде [3]

$$\begin{aligned} \Phi_{ME}^{R-\text{Fe}} = & -P_x [c_{1M}(m_x H_x^M - m_y H_y^M) + \\ & + c_{1L}(l_x H_x^L - l_y H_y^L) + c_{2M} m_y H_z^M + \\ & + c'_{2M} m_z H_y^M + c_{2L} l_y H_z^L + c'_{2L} l_z H_y^L] + \\ & + P_y [c_{1M}(m_x H_y^M + m_y H_x^M) + c_{1L}(l_x H_y^L + l_y H_x^L) + \\ & + c_{2M} m_x H_z^M + c'_{2M} m_z H_x^M + \\ & + c_{2L} l_x H_z^L + c'_{2L} l_z H_x^L], \quad (1) \end{aligned}$$

где $\mathbf{m}, \mathbf{l} = \mathbf{m}_1 \pm \mathbf{m}_2$ — векторы соответственно ферро- и антиферромагнетизма двух R-подрешеток $\mathbf{m}_{1,2}$, находящихся в эффективном (внешнем \mathbf{H} и обменном \mathbf{H}^L) поле

$$\mathbf{H}_{1,2}^{eff} = \mathbf{H}^M \pm \mathbf{H}^L \equiv \mathbf{H} + \hat{a}\mathbf{M} \pm \hat{b}\mathbf{L},$$

$c_{1M}, c_{1L}, c_{2M}, c_{2L}, c'_{2M}, c'_{2L}$ — магнитоэлектрические константы, \mathbf{M}, \mathbf{L} — векторы ферро- и антиферромагнетизма Fe-подсистемы, \hat{a} и \hat{b} — диагональные матрицы R-Fe-обмена ($a_{xx} = a_{yy} \equiv a_\perp, a_{zz} \equiv a_\parallel, b_{xx} = b_{yy} \equiv b_\perp, b_{zz} \equiv b_\parallel$). Наличие разных магнитоэлектрических констант для слагаемых с \mathbf{H}^M и \mathbf{H}^L обусловлено их различными трансформационными свойствами при операциях группы симметрии кристалла.

Основной вклад в R-Fe-обмен (*f-d*-обмен) ферроборатов определяется изотропной частью соответствующего взаимодействия редкоземельного иона подрешеток 1, 2 с ближайшими N ионами железа:

$$\mathcal{H}_{1,2}^{fd} = \lambda \mathbf{S}_R^{1,2} \cdot \sum_{i=1}^N \mathbf{S}_{Fe}^i = -\boldsymbol{\mu}_J^{1,2} \cdot \mathbf{H}_{fd}^{1,2}, \quad (2)$$

где \mathbf{S}_R и \mathbf{S}_{Fe} — спиновые моменты R- и Fe-ионов, $\boldsymbol{\mu}_J = -g_J \mu_B \mathbf{J}_R$ и g_J — соответственно полный угловой момент, магнитный момент и фактор Ланда основного мультиплета R-иона, μ_B — магнетон Бора,

$$H_{fd} = \frac{(g_J - 1)\lambda}{g_J \mu_B} \sum_{i=1}^N S_{Fe}^i$$

— обменное *f-d*-поле (изотропная часть), λ — обменная константа, зависящая от расстояний и углов связи между ионами R³⁺ и Fe³⁺. Это определение обменного поля справедливо только для основного мультиплета R-иона, когда $\mathbf{S}_R \approx (g_J - 1)\mathbf{J}_R$ (см. также работы [10, 12]). В отсутствие внешнего поля, т. е.

Таблица 1. Трансформационные свойства векторов ферро- и антиферромагнетизма Fe-подсистемы (M, L), редкоземельной подсистемы (m, l), поляризации P и тензора деформации u_{ik} для ферроборатов в пространственной группе \tilde{G}_{32} [3], редуцированной из группы $R32^*$

| | E | T_1^- | C_3^+ | 2_x^+ | l_i, L_i | m_i, M_i | $l_i L_j$ | $m_i M_j$ | P_i | u_{ij} |
|-------------|-----|---------|----------------|----------------|---|---|---|---|--|---|
| Γ_1 | 1 | 1 | 1 | 1 | — | — | — | — | — | $u_{xx} + u_{yy},$ u_{zz} |
| Γ'_1 | 1 | -1 | 1 | 1 | — | — | — | — | — | — |
| Γ_2 | 1 | 1 | 1 | -1 | — | m_z, M_z | — | — | P_z | — |
| Γ'_2 | 1 | -1 | 1 | -1 | l_z, L_z | — | — | — | — | — |
| Γ_3 | 1 | 1 | \mathbf{R}_3 | \mathbf{R}_2 | — | $\begin{pmatrix} m_x \\ m_y \end{pmatrix},$ $\begin{pmatrix} M_x \\ M_y \end{pmatrix}$ | $\begin{pmatrix} l_x L_x - l_y L_y \\ -l_x L_y - l_y L_x \end{pmatrix},$ $\begin{pmatrix} l_y L_z \\ -l_x L_z \end{pmatrix},$ $\begin{pmatrix} l_z L_y \\ -l_z L_x \end{pmatrix}$ | $\begin{pmatrix} m_x M_x - m_y M_y \\ -m_x M_y - m_y M_x \end{pmatrix},$ $\begin{pmatrix} m_y M_z \\ -m_x M_z \end{pmatrix},$ $\begin{pmatrix} m_z M_y \\ -m_z M_x \end{pmatrix}$ | $\begin{pmatrix} P_x \\ P_y \end{pmatrix}$ | $\begin{pmatrix} u_{xx} - u_{yy} \\ -2u_{xy} \end{pmatrix},$ $\begin{pmatrix} u_{yx} \\ -u_{xz} \end{pmatrix}$ |
| Γ'_3 | 1 | -1 | \mathbf{R}_3 | \mathbf{R}_2 | $\begin{pmatrix} l_x \\ l_y \end{pmatrix},$ $\begin{pmatrix} L_x \\ L_y \end{pmatrix}$ | — | — | — | — | — |

Примечание. *Элементы $T_1^-, C_3^+, 2_x^+$ группы \tilde{G}_{32} представляют соответственно трансляцию на один период решетки вдоль оси c , повороты вокруг оси третьего порядка и оси второго порядка; верхний индекс «+» означает, что элемент симметрии переводит антиферромагнитную подрешетку в саму себя, индекс «-» — в другую с противоположным направлением намагниченности; \mathbf{R}_2 и \mathbf{R}_3 — матрицы поворота соответственно на 180° и 120° . В таблице показаны только смешанные комбинации параметров порядка ионов Fe и R, дающие вклад в поляризацию и деформацию, остальные приведены в работе [3].

когда $H = 0$ и $M = 0$, обменное поле $\mathbf{H}_{fd}^{1,2} = \pm \mathbf{H}^L$ пропорционально вектору антиферромагнетизма \mathbf{L} . Полагая, что константа λ слабо зависит от структурных параметров решетки, можно провести сравнительную оценку полей обмена в ферроборатах с различным типом редкой земли (табл. 2), а также объяснить относительно небольшую величину электрической поляризации в ферроборатах с малым ионным радиусом, проявляющуюся в малых полях, когда основной вклад в эффективное поле, в котором находится ион, вносит поле $f-d$ -обмена. Действительно, в случае иона самария поле $|\mathbf{H}_{fd}|$ более чем на порядок превышает таковое для гольмия (см. табл. 2).

В сильных магнитных полях (более 100 кЭ) наблюдается заметный рост электрической поляризации (до 200–300 мКл/м²), которая намного превышает поляризацию, индуцированную $f-d$ -обменом (см. рис. 3), однако оказывается заметно меньше, чем в неодимовом ферроборате [3]. Очевидно, что этот вклад определяется электронной структурой редкоземельного иона и его спектром в кристаллическом поле. Выявленное в гольмииевом ферроборате уменьшение этого магнитоиндукционного вклада в поляризацию свидетельствует о его сильной зависимости от типа редкоземельного иона и, возможно, указывает на уменьшение магнитоэлектрической поляризации с уменьшением радиуса R-иона.

Таблица 2. Значения обменных f - d -полей в ферроборатах в зависимости от типа R-иона

| | g_J | $\frac{g_{\text{Gd}}}{g_{\text{Gd}} - 1} \frac{g_J - 1}{g_J} = 2 \frac{g_J - 1}{g_J}$ | $H_{fd}^{\text{isotr}} = 2 \frac{g_J - 1}{g_J} H_{fd}^{\text{Gd}}$, кЭ* | $ H_{fd}^{\text{exp}} $, кЭ измагн. и опт. эксп. | $ H_{fd}^{\text{exp}} $, кЭ измагнитоэлектр. эксп. |
|----|-------|---|--|---|---|
| Ce | 6/7 | -1/3 | -23 | - | - |
| Pr | 4/5 | -1/2 | -35 | 115 [23]** | - |
| Nd | 8/11 | -3/4 | -53 | 79 [24] | 55 [3] |
| Pm | 3/5 | -4/3 | -93 | - | - |
| Sm | 2/7 | -5 | -350 | - | - |
| Gd | 2 | 1 | 70 | 70 [21, 25] | - |
| Tb | 3/2 | 2/3 | 47 | 35–38 [18, 24] | - |
| Dy | 4/3 | 1/2 | 35 | 25 [24] | - |
| Ho | 5/4 | 2/5 | 28 | 25 [26] | 20 |
| Er | 6/5 | 1/3 | 23 | 16.5 [24] | - |
| Tm | 7/6 | 2/7 | 20 | - | - |
| Yb | 8/7 | 1/4 | 18 | - | - |

Примечание. *Теоретические значения полей H_{fd}^{isotr} (изотропная часть) рассчитаны при $H_{fd}^{\text{Gd}} \approx 70$ кЭ [21].

**Сильное отличие реального обменного поля, действующего на ион Pr^{3+} , от его изотропной части, указанной в четвертом столбце, связано с большим анизотропным вкладом f - d -обмена, установленным для $\text{PrFe}_3(\text{BO}_3)_4$ на основе оптических данных [22].

Рассмотрим поведение поляризации более подробно в легкоплоскостном состоянии, когда поле направлено вдоль оси a , а вектор \mathbf{L} — вдоль оси b . Минимизируя полный термодинамический потенциал

$$\Phi = \frac{P_x^2 + P_y^2}{2\chi_{\perp}^E} + \Phi_{ME}$$

по поляризации (χ_{\perp}^E — электрическая восприимчивость в базисной плоскости), имеем

$$\begin{aligned} P_x &= \chi_{\perp}^E (c_{1M} m_x H_x^M - c_{1L} l_y H_y^L) \approx \\ &\approx \chi_{\perp}^E c_{1M} \frac{m_R(H_{eff}, T)}{H_{eff}} \left(H_x^2 - \frac{c_{1L}}{c_{1M}} H_{fd}^2 \right), \quad (3) \end{aligned}$$

где

$$\begin{aligned} m_R(H_{eff}, T) &= -\frac{\partial \Phi_R}{\partial H_{eff}} \equiv \\ &\equiv Nk_B T \frac{\partial}{\partial H_{eff}} \ln \sum_{i=1}^{2J+1} \exp \left(-\frac{E_i}{k_B T} \right) \end{aligned}$$

— намагниченность R-подсистемы в эффективном поле $\mathbf{H}_{eff} \approx (H_x, H_y^L, 0)$ ($H_y^L = H_{fd}$, $H_x^M \approx H_x$), а ее однородная и знакопеременная (staggered) компоненты соответственно равны $m_x = m_R H_x / H_{eff}$ и $m_y = m_R H_y^L / H_{eff}$, E_i — энергетические уровни R-иона в кристаллическом и эффективном полях. На основе выражений (1) и (3) можно объяснить характерные особенности температурных и полевых зависимостей, приведенных на рис. 2 и 3:

1) исчезновение электрической поляризации при спонтанном ориентационном переходе от плоскости ab к оси c , наблюдающееся при температуре 5 К;

2) возникновение поляризации при индуцированном полем порядка 10 кЭ возвратном переходе в плоскость ab ;

3) изменение знака электрической поляризации в поле около 20 кЭ, приблизительно равном полу f - d -обмена при $c_{1L} \approx c_{1M}$ в связи с изменением знака разности $c_{1M} m_x H_x - c_{1L} l_y H_y^L \sim H_x^2 - H_{fd}^2 (c_{1L}/c_{1M})$ в выражении (3); некоторым различием величин констант c_{1L} и c_{1M} можно объяснить

также различие обменных полей, найденных по точке смены знака поляризации из магнитных и оптических измерений (см. табл. 2);

4) изменение знака электрической поляризации при изменении направления магнитного поля от оси a к оси b кристалла (по тем же причинам, что и в п. 3).

Для количественного описания поляризации на основе выражения (3) нужно знать поведение функции $m_R(H_{eff}, T)$, определяемой спектром R-иона. В простейшем двухуровневом приближении имеем

$$m_R(H_{eff}, T) \propto \text{th}(\mu_\perp H_{eff}/k_B T),$$

где μ_\perp — магнитный момент R-иона в базисной плоскости. Полагая в (3) поле $f-d$ -обмена равным 20 кЭ (точка смены знака магнитоэлектрической поляризации на полевой зависимости, см. рис. 3), а величину внешнего магнитного поля $H = 8.5$ кЭ, что соответствует условиям эксперимента (см. рис. 2a), получаем для температурной зависимости магнитоэлектрической поляризации теоретическую кривую (рис. 2a, сплошная линия), которая при значении параметра $\mu_\perp = 2.1\mu_B$ довольно точно описывает экспериментальную зависимость.

По аналогии с выражением (3) для продольных компонент магнитострикции, обусловленной R-подсистемой, получаем

$$\begin{aligned} u_{xx} - u_{yy} &= (b_{3M} m_x H_x^M - b_{3L} l_y H_y^L) \approx \\ &\approx b_{3M} \frac{m_R(H_{eff}, T)}{H_{eff}} \left(H_x^2 - \frac{b_{3L}}{b_{3M}} H_{fd}^2 \right). \end{aligned} \quad (4)$$

Сходство зависимостей (3) и (4) объясняет корреляцию магнитоэлектрических и магнитоупругих свойств, а различие полей обращения в нуль поляризации и магнитострикции может быть связано с различием коэффициентов c_{1L}/c_{1M} и b_{3L}/b_{3M} (см. рис. 3 и 5).

5. ЗАКЛЮЧЕНИЕ

Таким образом, показано, что для легкоплоскостных ферроборатов характерным свойством являются противоположные знаки магнитоиндукционных поляризаций вдоль оси a при направлениях магнитного поля вдоль осей a (H_a) и b (H_b). Эта особенность, наряду со сменой знака магнитоиндукционной поляризации в поле, большем поля обмена между ионами редкой земли и ионами железа, находит свое объяснение в рамках симметрийного подхода.

На магнитных, магнитоэлектрических и магнитоупругих зависимостях для ферробората гольмия прослеживаются аномалии, связанные как со спонтанным спин-переориентационным переходом, так и с индуцированными магнитным полем фазовыми переходами (спин-флоп и возвратным). Результаты измерений полевых зависимостей магнитоэлектрической поляризации в ферроборате гольмия находятся в хорошем согласии с результатами измерения аналогичных зависимостей в работе [14], а также существенно дополняют их данными о магнитоэлектрической поляризации в сильных магнитных полях. Индуцированный в сильных магнитных полях рост электрической поляризации оказался в ферроборате гольмия заметно меньше, чем в ферроборате неодима в тех же условиях, что указывает на существенную зависимость магнитоэлектрических эффектов от электронной структуры редкоземельных ионов. Квантово-феноменологическое рассмотрение указывает на то, что поле $f-d$ -обмена, так же как электронная структура и магнитный момент иона, является важным фактором, определяющим магнитоэлектрическую поляризацию редкоземельных ферроборатов при индуцированном слабыми магнитными полями (менее 10 кЭ) развороте спиновой структуры в базисной плоскости в направлении, перпендикулярном внешнему полю.

Работа выполнена при поддержке РФФИ (гранты №№ 10-02-00846а, 09-02-01355, 12-02-01261).

ЛИТЕРАТУРА

1. А. К. Звездин, С. С. Кротов, А. М. Кадомцева и др., Письма в ЖЭТФ **81**, 335 (2005).
2. F. Yen, B. Lorenz, Y. Y. Sun et al., Phys. Rev. B **73**, 054435 (2006).
3. А. К. Звездин, Г. П. Воробьев, А. М. Кадомцева и др., Письма в ЖЭТФ **83**, 600 (2006).
4. А. Н. Васильев, Е. А. Попова, ФНТ **32**, 968 (2006).
5. M. N. Popova, E. P. Chukalina, T. N. Stanislavchuk et al., Phys. Rev. B **75**, 224435 (2007).
6. E. A. Popova, D. V. Volkov, A. N. Vasiliev et al., Phys. Rev. B **75**, 224413 (2007).
7. H. Mo, Ch. S. Nelson, L. N. Bezmaternykh, and V. T. Temerov, Phys. Rev. B **78**, 214407 (2008).
8. Ch. Lee, J. Kang, K. H. Lee, and M.-H. Whangbo, Chem. Mater. **21**, 2534 (2009).

9. M. N. Popova, J. Magn. Magn. Mater. **321**, 716 (2009).
10. A. M. Кадомцева, Ю. Ф. Попов, Г. П. Воробьев и др., ФНТ **36**, 640 (2010).
11. Ю. Ф. Попов, А. М. Кадомцева, Г. П. Воробьев и др., Письма в ЖЭТФ **89**, 405 (2009).
12. Ю. Ф. Попов, А. П. Пятаков, А. М. Кадомцева и др., ЖЭТФ **138**, 226 (2010).
13. V. L. Temerov, A. E. Sokolov, A. L. Sukhachev et al., Crystallogr. Rep. **53**, 1157 (2008).
14. R. P. Chaudhury, F. Yen, B. Lorenz et al., Phys. Rev. B **80**, 104424 (2009).
15. T. N. Stanislavchuk, E. P. Chukalina, M. N. Popova et al., Phys. Lett. A **368**, 408 (2007).
16. C. Ritter, A. Vorotynov, A. Pankrats et al., J. Phys.: Condens. Matter **20**, 365209 (2008).
17. A. Pankrats, G. Petrakovskii, A. Kartashev et al., J. Phys.: Condens. Matter **21**, 436001 (2009).
18. А. К. Звездин, А. М. Кадомцева, Ю. Ф. Попов и др., ЖЭТФ **136**, 80 (2009).
19. E. A. Popova, N. Tristan, A. N. Vasiliev et al., Eur. Phys. J. B **62**, 123 (2008).
20. А. К. Звездин, В. М. Матвеев, А. А. Мухин, А. И. Попов, *Редкоземельные ионы в магнитоупорядоченных кристаллах*, Наука, Москва (1985).
21. А. М. Кадомцева, А. К. Звездин, А. П. Пятаков и др., ЖЭТФ **132**, 134 (2007).
22. M. N. Popova, T. N. Stanislavchuk, B. Z. Malkin, and L. N. Bezmaternykh, Phys. Rev. B **80**, 195101 (2009).
23. А. М. Кадомцева, Ю. Ф. Попов, Г. П. Воробьев и др., Письма в ЖЭТФ **87**, 45 (2008).
24. M. N. Popova, J. Rare Earths **27**, 607 (2009).
25. А. М. Кузьменко, А. А. Мухин, В. Ю. Иванов и др., Письма в ЖЭТФ **94**, 318 (2011).
26. А. А. Демидов, Д. В. Волков, ФТТ **53**, 926 (2011).